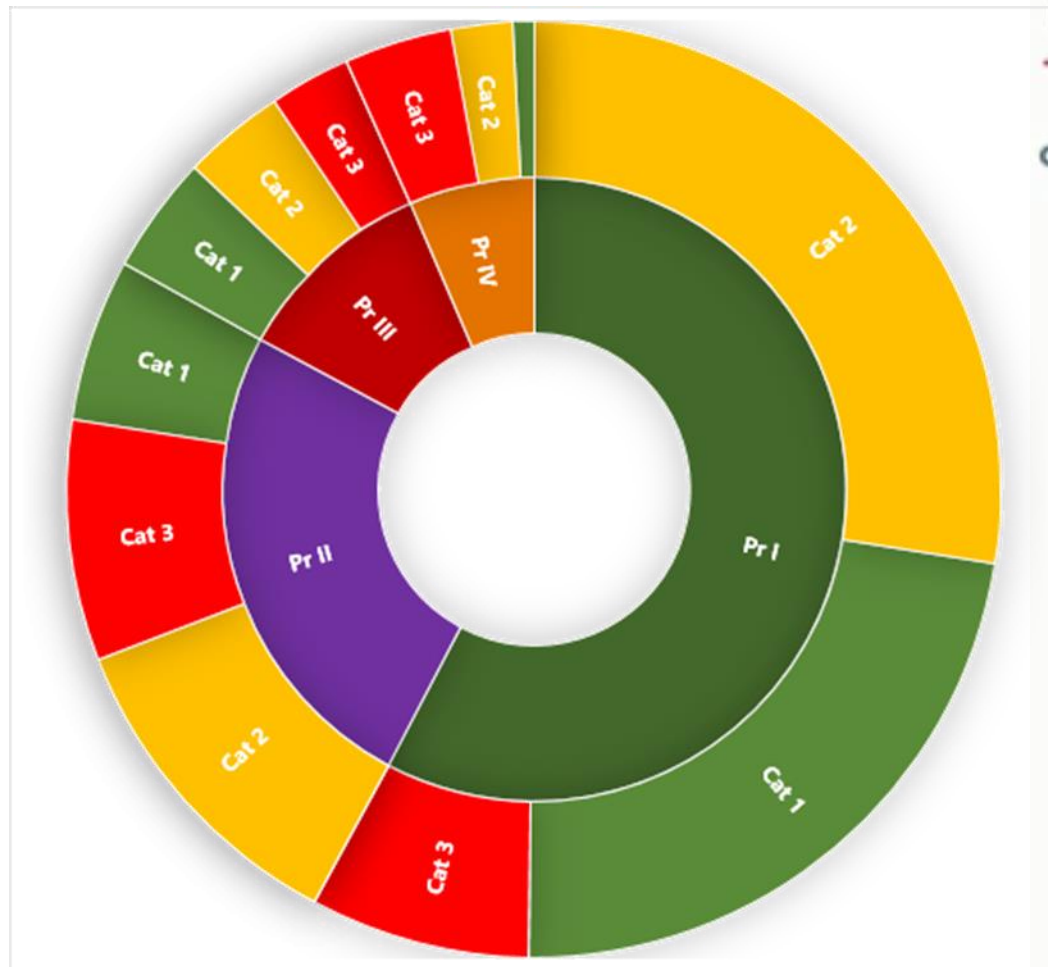


КОМПЛЕКСНЫЙ БАЛЛ ПУБЛИКАЦИОННОЙ РЕЗУЛЬТАТИВНОСТИ И НЕКОТОРЫЕ ВОЗМОЖНЫЕ ПОСЛЕДСТВИЯ ЕГО ИСПОЛЬЗОВАНИЯ

ДЕНИС КОСЯКОВ

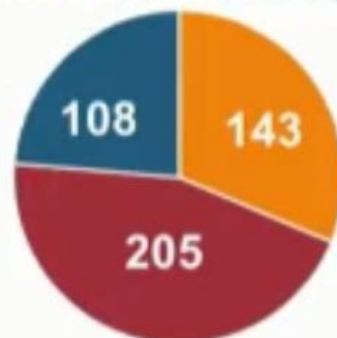
В 2017 г. БЫЛА ЗАВЕРШЕНА ВЕДОМСТВЕННАЯ ОЦЕНКА РЕЗУЛЬТАТИВНОСТИ НАУЧНЫХ ОРГАНИЗАЦИЙ



ОЦЕНКА РЕЗУЛЬТАТИВНОСТИ НАУЧНЫХ ОРГАНИЗАЦИЙ

ФАНО России | ФЕДЕРАЛЬНОЕ АГЕНТСТВО НАУЧНЫХ ОРГАНИЗАЦИЙ

Распределение организаций по категориям



- 1 категория
- 2 категория
- 3 категория

Оценку прошли **456** организаций

41 наукометрический показатель
38 дополнительных сведений

Наукометрический анализ
Экспертное заключение РАН
Независимая экспертная оценка

- ✓ Общая характеристика
- ✓ Научный потенциал
- ✓ Инновационный потенциал
- ✓ Экспертная деятельность
- ✓ Выполнение заказных работ

Распределение организаций по областям наук





ОЦЕНКА ВЫЯВИЛА РЯД «ПРОБЛЕМ»

- Низкая достоверность данных
- Невозможность корректного учета публикаций, индексируемых только в WoS или только в Scopus
- Уравнивание всех публикаций, статья в материалах конференций = статье в Nature
- Многократный учет одной и той же публикации

Geodesy and Cartography [Open Access](#)
Volume 44, Issue 4, 31 December 2018, Pages 140-145

Operational experience of GNSS receivers with chip scale atomic clocks for baseline measurements [\(Article\)](#) [\(Open Access\)](#)

Karpik, A.P.^a , Kosarev, N.S.^a, Antonovich, K.M.^a, Ganagina, I.G.^a, Timofeev, V.Y.^b 

^aSiberian State University of Geosystems and Technologies, Novosibirsk, Russian Federation

^bTrofimuk Institute of Petroleum Geology and Geophysics, Novosibirsk, Russian Federation

Abstract

[View references \(23\)](#)

Currently, one of the topical issues of improving GLONASS system is modernization of its uniformity measurement equipment, including RF measurement equipment and electronic length measurement equipment. To this end, at the Spatial Reference Proving Ground of the Siberian State University of Geosystems and Technologies (SSUGT), the authors of this article carried out a successful experiment to measure a short GNSS baseline by receivers equipped with Chip Scale Atomic Clocks (CSACs) with instability of 10^{-11} showed that the mean deviation between the slant distance (D) measured using GNSS receivers connected to CSACs and their certified value varied in the range of 0.1–2.5 mm, with the average value of 0.9 mm. The mean deviation obtained using GNSS geodetic receivers not connected to CSAC and their certified value made up 9.4 mm. The obtained experimental results suggest that substitution of quartz frequency generators with temperature compensation used in geodetic GNSS receivers for Chip Scale Atomic Clocks in any metrological or verification kit increases accuracy and reliability of short baselines measurements results, which highly perspective in view of development of techniques for creating reference baselines with a reproduction error of unit length of about 1 mm per 1 km. The above-mentioned experiment opens up new horizons for the use of Chip Scale Atomic Clocks in such fields of science as metrological support of geodetic equipment, geodesy, etc. © 2018 The Author(s).

ПУБЛИКАЦИОННЫЙ ОТЧЕТ



Публикации научных организаций: Просмотр

Публикация | Примечания

Учреждение: 268.00.Ц2084 Наименование: _____

Публикация

DOI: 10.33186/1027-3689-2017-11-91-100

ISBN: _____

Дата проверки DOI: 23.10.2019

Характеристики

Квартиль журнала: Q4 Подтвержденное значение квартили: Не определено

Количество авторов публикаций: 3 Подтвержденное количество авторов публикации: 0

Есть аффилиция с научной организацией, предоставившей сведения

Дата проверки характеристик: _____

Год включения в отчет: _____

Оценки качества по данным научной организации

Оценка: 1.00000 Дата оценки: 25.12.2019

Подтвержденная оценка качества

Оценка: 0.00000 Дата оценки: _____

OK Cancel

КБПР – ФРАКЦИОННЫЙ СЧЕТ

Если у публикации несколько авторов, то каждый автор получает соответствующую долю оценки публикации.

Например:

Иванов И.И.¹, Петров П.П.¹, Сидоров С.С.²

ОЦЕНКА ДЕЯТЕЛЬНОСТИ БИБЛИОТЕК

¹ ГПНТБ СО РАН, ² НГУ

Научные и технические библиотеки – 2019 – №2 – С.12-22

- Публикация оценивается в 1 балл (WoS без IF)
- Доля ГПНТБ СО РАН – 2/3 балла.

Если у автора(ов) несколько аффилиаций, то доли авторов считаются с учетом аффилиаций.

Например:

Иванов И.И.^{1,2}, Петров П.П.¹, Сидоров С.С.¹,
Александров А.А.²

ОЦЕНКА ДЕЯТЕЛЬНОСТИ БИБЛИОТЕК

¹ ГПНТБ СО РАН, ² НГУ

Научные и технические библиотеки – 2019 – №2 – С.12-22

- Публикация оценивается в 1 балл (WoS без IF)
- Доля ГПНТБ СО РАН – $1/4/2 + 2/4 = 5/8$ балла

КБПР – ШКАЛА БАЛЛОВ

Версия от 30.12.2019

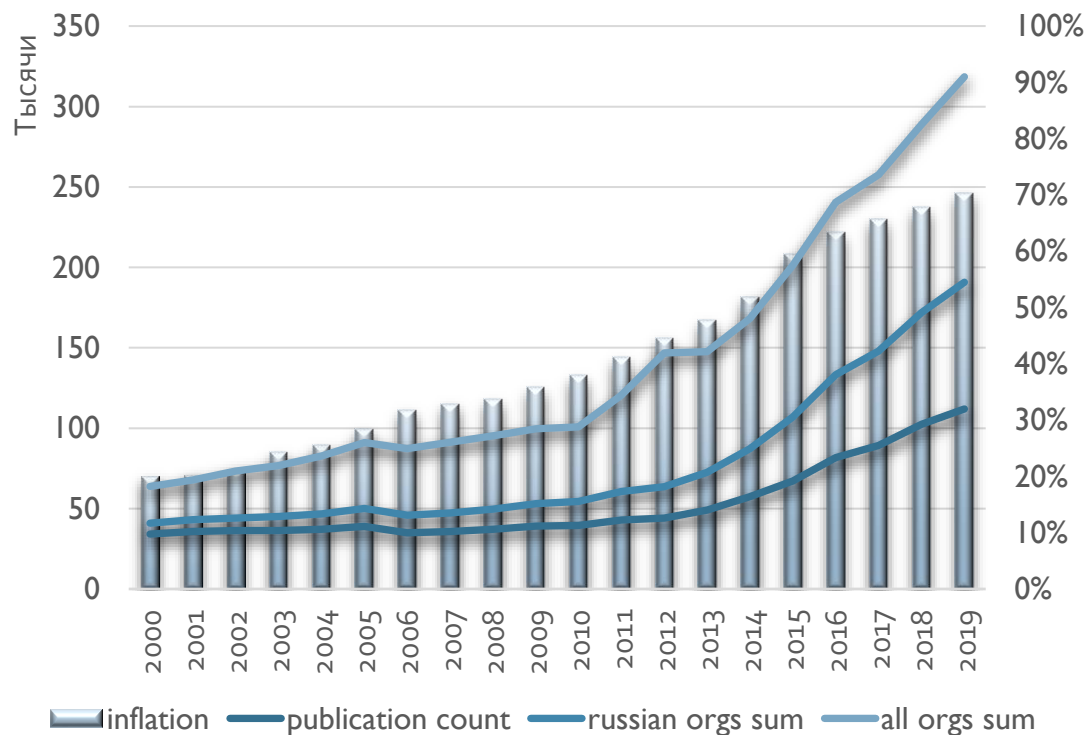
Издание	Балл
WoS Q1	19,7
WoS Q2	7,3
WoS Q3	2,7
WoS Q4	1
WoS без IF	1
Scopus	1
RSCI	0,75
БАК	0,5
Книги	1

Версия от 23.04.2020

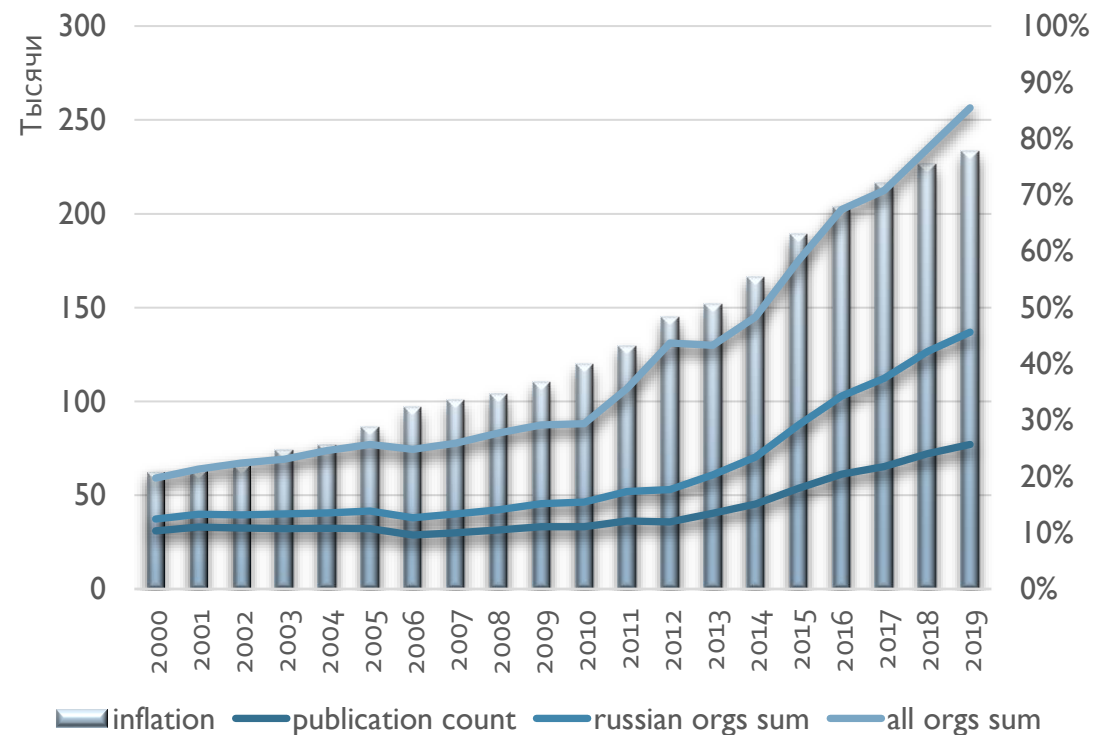
Издание	Все направления	Гуманитарные и общественные
WoS Q1	20	3
WoS Q2	10	3
WoS Q3	5	3
WoS Q4	2,5	3
WoS без IF	1	3
Scopus	1	3
RSCI	1	3
БАК	0,12	1
Книги	1	1 за п.л.

«ИНФЛЯЦИЯ» РЕЗУЛЬТАТИВНОСТИ

Все типы публикаций, Scopus



Только журналы, Scopus



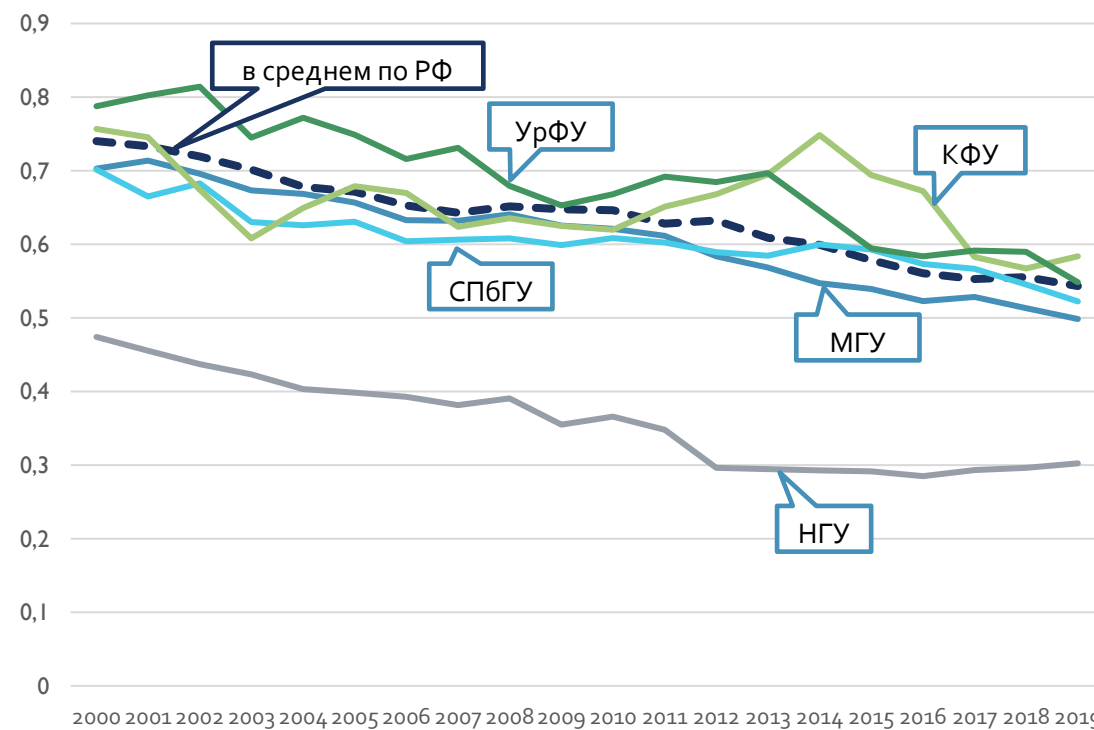
КОЭФФИЦИЕНТ «САМОДОСТАТОЧНОСТИ»

Как считаем:

$$\frac{\text{кол-во публикаций фракционным счетом (FC)}}{\text{кол-во публикаций целым счетом (AC)}}$$

Коэффициент «самодостаточности» равен 1, если у всех публикаций авторы только из этой организации; стремится к 0 с увеличением кол-ва коллабораций

Как меняется?



ПОСЛЕДСТВИЕ №1 – ПОСТРАДАЮТ КОЛЛАБОРАЦИИ

Мегаколлораации

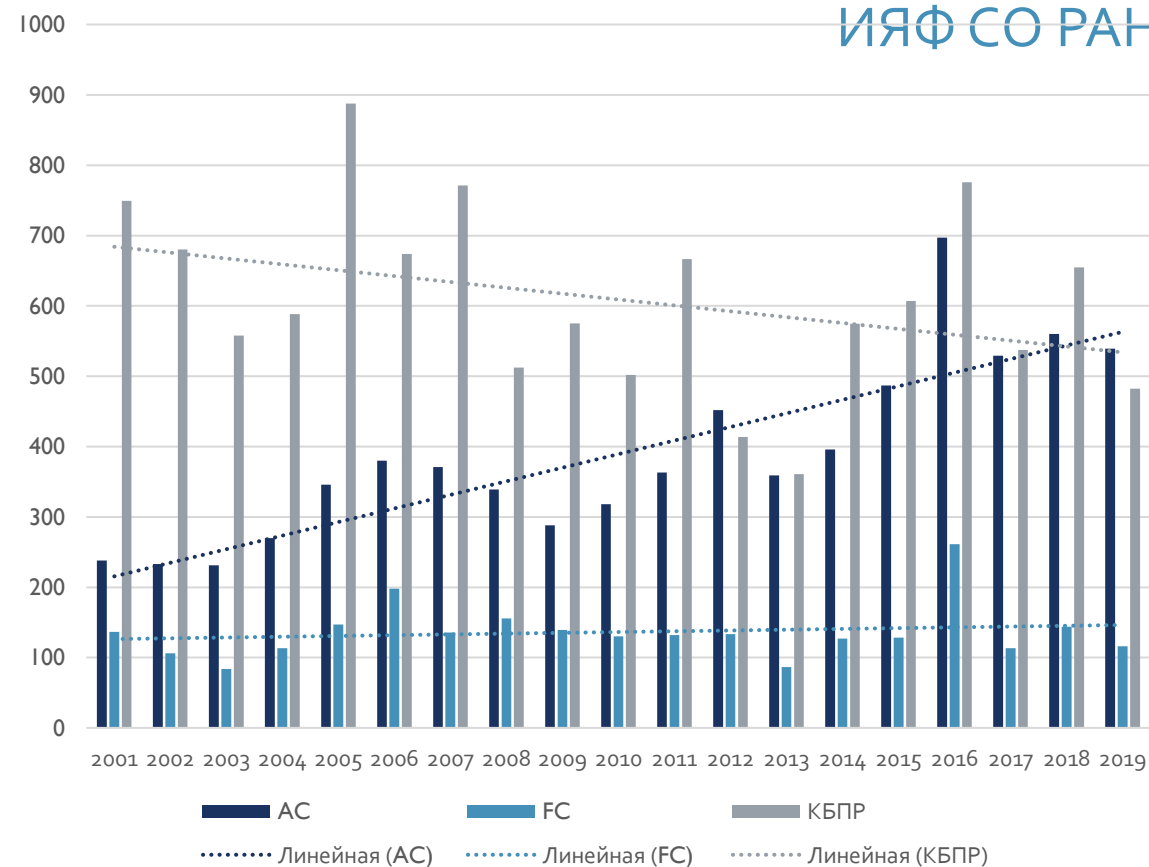
Journal of Instrumentation
Volume 14, Issue 12, 10 December 2019, Article number P12006

Electron and photon performance measurements with the **ATLAS** detector using the 2015-2017 LHC proton-proton collision data (Article) (Open Access)

Aad, G.^{ow}, Abbott, B.^{dx}, Abbott, D.C.^{ox}, Abed Abud, A.^{br,hk}, Abeling, K.^{ba}, Abhayasinghe, D.K.^{co}, Abidi, S.H.^{rk}, AbouZeid, O.S.^{an}, Abraham, N.L.^{ez}, Abramowicz, H.^{fe}, Abreu, H.^{fd}, Abulaiti, Y.^f, Achary, B.S.^{bn,hfin}, Achkar, B.^{ba}, Adachi, S.^{fe}, Adam, L.^{cu}, Adam Bourdarios, C.^e, Adamczyk, L.^{ce}, Adamek, L.^{fk}, Adelman, J.^{dq}, Adersberger, M.^{dj}, Adiguzel, A.^{fid}, Adorni, S.^{bb}, Adaye, T.^{en}, Affolder, A.A.^{op}, Afik, Y.^{fd}, Agapopoulou, C.^{ed}, Agaras, M.N.^{al}, Aggarwal, A.^{do}, Agheorghiesei, C.^{el}, Aguilar-Saavedra, J.A.^{eh,ja,c}, Ahmadov, F.^{ca}, Ahmed, W.S.^{vy}, Ai, X.ⁱ, Aielli, G.^{bu,hn}, Akatsuka, S.^{ce}, Åkesson, T.P.A.^{cr}, Akilli, E.^{bb}, Akimov, A.V.^{df}, Al Khoury, K.^{eb}, Alberghi, G.L.^{wgo}, Albert, J.^{ft}, Alconada Verzini, M.J.^{fe}, Alderweireldt, S.^{aj}, Aleksa, M.^{aj}, Aleksandrov, I.N.^{ca}, Alexa, C.^{ek}, Alexandre, D.^s, Alexopoulos, T.J., Alfonsi, A.^{dp}, Alfonsi, F.^{wgo}, Alhroob, M.^{dx}, Ali, B.^{ed}, Alimonti, G.^{bp}, Alison, J.^{ak}, Alkire, S.P.^{er}, Allaire, C.^{eb}, Allbrooke, B.M.M.^{ez}, Allen, B.W.^{ca}, Allport, P.P.^u, Aloisio, A.^{bq,hj}, Alonso, A.^{an}, Alonso, F.^q, Alpigiani, C.^{er}, Alshehri, A.A.^{be}, Alvarez Estevez, M.^{ct}, Álvarez Piqueras, D.^{ff}, Alvisi, M.G.^{bq,hj}, Amaral Coutinho, Y.^{hq}, Ambler, A.^{cy}, Ambroz, L.^{ee}, Amelung, C.^z, Amidei, D.^{da}, Amor Dos Santos, S.P.^{ej}, Amoroso, S.^{at}, Amrouche, C.S.^{bb}, An, F.^{bz}, Anastopoulos, C.^{es}, Andari, N.^{eo}, Andeen, T.^k, Anders, C.F.^{hc}, Anders, J.K.ⁱ, Andreatta, A.^{bp,hi}, Andrei, V.^{bi}, Anelli, C.R.^{ft}, Angelidakis, S.^{al}, Angerami, A.^{am}, Anisenkov, A.V.^{dr,hu}, Annovi, A.^{bs}, Antel, C.^{bi}, Anthony, M.T.^{es}, Antonelli, M.^{av}, Antrim, D.J.A.^{fo}, Anulli, F.^{bt}, Aoki, M.^{cs}, Aparisi Pozo, J.A.^{ff}, Aperio Bella, L.^o, Arabidze, G.^{db}, Araque, J.P.^{an}, Araujo Ferraz, V.^{hq}, Araujo Pereira, R.^{hq}, Arcangeletti, C.^{ay}, Arce, A.T.H.^{aw}, Arduh, F.A.^q, Arguin, J.-F.^{de}, Argyropoulos, S.^{by}, Arling, J.-H.^{at}, Armbruster, A.J.^{bj}, Armstrong, A.^{fo}, Arnaez, O.^{rk}, Arnold, H.^{dp}, Arrubarrena Tame, Z.P.^{dj}, Artamonov, A.^{de}, Artoni, G.^{ee}, Artz, S.^{cu}, Asai, S.^{fe}, Asbah, N.^{de}, Asimakopoulou, E.M.^{fp}, Asquith, L.^{ez}, Assahsah, J.^{bu}, Assamagan, K.^{ac}, Astalos, R.^{eb}, Atkin, R.J.^{se}, Atkinson, M.^{td}, Atlay, N.B.^s, Atmani, H.^{eb}, Augsten, K.^{el}, Avolio, G.^{aj}, Avramidou, R.^{bh}, Ayoub, M.K.^o, Azoulay, A.M.^{ic}, Azuelos, G.^{de,fl}, Bachacou, H.^{eo}, Bachas, K.^{bo,hh}, Backes, M.^{ee}, Backman, F.^{as,ex}, Bagnaia, P.^{bt,hm}, Bahmani, M.^{cf}, Bahrasemani, H.^{ey}, Bailey, A.J.^f, Bailey, V.R.^{fq}, Baines, J.T.^{eo}, Bajic, M.^{an}, Bakalis, C.J., Baker, O.K.^{ep}, Bakker, P.J.^{dp}, Bakshi Gupta, D.^h, Balaji, S.^{fa}, Baldin, E.M.^{dr,hu}, Balek, P.^{fx}, Balli, F.^{eo}, Balunas, W.K.^{ee}, Balz, J.^{cu}, Banas, E.^{cf}, Bandyopadhyay, A.^x, Banerjee, Sw.^{yl}, Bannoura, A.A.E.^{fc}, Barak, L.^{fe}, Barbe, W.M.^{al}, Barberio, E.L.^{ct}, Barberis, D.^{bc,by}, Barbero, M.^{ow}, Barbour, G.^{op}, Barillari, T.^{dk}, Barisits, M.-S.^{aj}, Barkeloo, J.^{ea}, Barklow, T.^{ew}, Barnea, R.^{fd}, Barnes, S.L.^{ha}, Barnett, B.M.^{en}, Barnett, R.M.^f, Barnovska-Bleneszy, Z.^{bh}, Baroncelli, A.^{bh}, Barone, G.^{ec}, Barr, A.J.^{es}, Barranco Navarro, L.^{as,ex}, Barreiro, F.^{ct}, Barreiro Guimarães da Costa, J.^o, Barsov, S.^{ch}, Bartoldus, R.^{ew}, Bartolini, G.^{ow}, Barton, A.E.^{ck}, Bartos, P.^{ab}, Basal, J.^{at}, Batley, J.R.^{af}, Batool, B.^{su}, Battaglia, M.^{ep}, Bause, M.^{bt,hm}, Bauer, P.^{at}, Beacham, J.^{at}, Becherer, F.^{az}, Becherini, F.^{at}, Beddall, A.J., Bednyakov, V.A.^{ca}, Bedogni, L.^{at}, Beisiegel, F.^{dt}, Bell, A.S.^{op}, Bella, G.^{fe}, Bella, L.^{at}, Bencheikroun, D.^{ai}, Benekos, N.J., Benhammou, L.^{at}, Beretta, M.^{ay}, Berge, D.^{at}, Bergeas Kuutmann, L.^{at}, Bernard, N.R.^{ox}, Bernardi, G.^{ef}, Bernius, C.^{ow}, Bernreuther, M.^{at}, Bethani, A.^{cy}, Bethke, S.^{dk}, Betti, A.^x, Bevan, A.J.^{cn}, Biedermann, D.^s, Bielski, R.^{bj}, Bierwagen, K.^{cu}, Bifulco, R.^{at}, Biondi, S.^{wgo}, Birman, M.^{fx}, Bisanz, T.^{ba}, Biswas, N.^{at}, Bloch, I.^{at}, Blocker, C.^z, Blue, A.^{be}, Blumens, G.^{at}, Boerner, D.^{at}, Bogavac, D.ⁿ, Bogdanchikov, I.V.^{at}, Bokan, P.^{ba,fp}, Bold, T.^{ce}, Bolduan, J.^{at}, Borisov, A.^{ds}, Boriss, J.^{at}, Bortoletto, D.^{ee}, Boschering, D.^{ep}, Bosman, M.^{at}, Bossio Sola, J.L.^{ay}, Bouaouda, K.^{ai}, Boudreau, J.^{el}, Bouhova-Thacker, E.V.^{ay}, Boumediene, D.^{al}, Boutle, S.K.^{be}, Boveia, A.^{dv}, Boyd, J.^{aj}, Boye, D.^{ga,h}, Boyko, I.R.^{ca}, Bozson, A.J.^{co}, Bracinik, J.^u, Brahim, N.^{ow}, Brancaccio, A.^{at}, Brandes, M.^{at}, Brandt, S.^{at}, Brandt, T.^{at}, Brandt, V.^{at}, Brandt, W.^{at}, Brandt, X.^{at}, Brandt, Y.^{at}, Brandt, Z.^{at}, Brandt, AA.^{at}, Brandt, AB.^{at}, Brandt, AC.^{at}, Brandt, AD.^{at}, Brandt, AE.^{at}, Brandt, AF.^{at}, Brandt, AG.^{at}, Brandt, AH.^{at}, Brandt, AI.^{at}, Brandt, AJ.^{at}, Brandt, AK.^{at}, Brandt, AL.^{at}, Brandt, AM.^{at}, Brandt, AN.^{at}, Brandt, AO.^{at}, Brandt, AP.^{at}, Brandt, AQ.^{at}, Brandt, AR.^{at}, Brandt, AS.^{at}, Brandt, AT.^{at}, Brandt, AU.^{at}, Brandt, AV.^{at}, Brandt, AW.^{at}, Brandt, AX.^{at}, Brandt, AY.^{at}, Brandt, AZ.^{at}, Brandt, BA.^{at}, Brandt, BB.^{at}, Brandt, BC.^{at}, Brandt, BD.^{at}, Brandt, BE.^{at}, Brandt, BF.^{at}, Brandt, BG.^{at}, Brandt, BH.^{at}, Brandt, BI.^{at}, Brandt, BJ.^{at}, Brandt, BK.^{at}, Brandt, BL.^{at}, Brandt, BM.^{at}, Brandt, BN.^{at}, Brandt, BO.^{at}, Brandt, BP.^{at}, Brandt, BQ.^{at}, Brandt, BR.^{at}, Brandt, BS.^{at}, Brandt, BT.^{at}, Brandt, BU.^{at}, Brandt, BV.^{at}, Brandt, BW.^{at}, Brandt, BX.^{at}, Brandt, BY.^{at}, Brandt, BZ.^{at}, Brandt, CA.^{at}, Brandt, CB.^{at}, Brandt, CC.^{at}, Brandt, CD.^{at}, Brandt, CE.^{at}, Brandt, CF.^{at}, Brandt, CG.^{at}, Brandt, CH.^{at}, Brandt, CI.^{at}, Brandt, CJ.^{at}, Brandt, CK.^{at}, Brandt, CL.^{at}, Brandt, CM.^{at}, Brandt, CN.^{at}, Brandt, CO.^{at}, Brandt, CP.^{at}, Brandt, CQ.^{at}, Brandt, CR.^{at}, Brandt, CS.^{at}, Brandt, CT.^{at}, Brandt, CU.^{at}, Brandt, CV.^{at}, Brandt, CW.^{at}, Brandt, CX.^{at}, Brandt, CY.^{at}, Brandt, CZ.^{at}, Brandt, DA.^{at}, Brandt, DB.^{at}, Brandt, DC.^{at}, Brandt, DD.^{at}, Brandt, DE.^{at}, Brandt, DF.^{at}, Brandt, DG.^{at}, Brandt, DH.^{at}, Brandt, DI.^{at}, Brandt, DJ.^{at}, Brandt, DK.^{at}, Brandt, DL.^{at}, Brandt, DM.^{at}, Brandt, DN.^{at}, Brandt, DO.^{at}, Brandt, DP.^{at}, Brandt, DQ.^{at}, Brandt, DR.^{at}, Brandt, DS.^{at}, Brandt, DT.^{at}, Brandt, DU.^{at}, Brandt, DV.^{at}, Brandt, DW.^{at}, Brandt, DX.^{at}, Brandt, DY.^{at}, Brandt, DZ.^{at}, Brandt, EA.^{at}, Brandt, EB.^{at}, Brandt, EC.^{at}, Brandt, ED.^{at}, Brandt, EE.^{at}, Brandt, EF.^{at}, Brandt, EG.^{at}, Brandt, EH.^{at}, Brandt, EI.^{at}, Brandt, EJ.^{at}, Brandt, EK.^{at}, Brandt, EL.^{at}, Brandt, EM.^{at}, Brandt, EN.^{at}, Brandt, EO.^{at}, Brandt, EP.^{at}, Brandt, EQ.^{at}, Brandt, ER.^{at}, Brandt, ES.^{at}, Brandt, ET.^{at}, Brandt, EU.^{at}, Brandt, EV.^{at}, Brandt, EW.^{at}, Brandt, EX.^{at}, Brandt, EY.^{at}, Brandt, EZ.^{at}, Brandt, FA.^{at}, Brandt, FB.^{at}, Brandt, FC.^{at}, Brandt, FD.^{at}, Brandt, FE.^{at}, Brandt, FF.^{at}, Brandt, FG.^{at}, Brandt, FH.^{at}, Brandt, FI.^{at}, Brandt, FJ.^{at}, Brandt, FK.^{at}, Brandt, FL.^{at}, Brandt, FM.^{at}, Brandt, FN.^{at}, Brandt, FO.^{at}, Brandt, FP.^{at}, Brandt, FQ.^{at}, Brandt, FR.^{at}, Brandt, FS.^{at}, Brandt, FT.^{at}, Brandt, FU.^{at}, Brandt, FV.^{at}, Brandt, FW.^{at}, Brandt, FX.^{at}, Brandt, FY.^{at}, Brandt, FZ.^{at}, Brandt, GA.^{at}, Brandt, GB.^{at}, Brandt, GC.^{at}, Brandt, GD.^{at}, Brandt, GE.^{at}, Brandt, GF.^{at}, Brandt, GG.^{at}, Brandt, GH.^{at}, Brandt, GI.^{at}, Brandt, GJ.^{at}, Brandt, GK.^{at}, Brandt, GL.^{at}, Brandt, GM.^{at}, Brandt, GN.^{at}, Brandt, GO.^{at}, Brandt, GP.^{at}, Brandt, GQ.^{at}, Brandt, GR.^{at}, Brandt, GS.^{at}, Brandt, GT.^{at}, Brandt, GU.^{at}, Brandt, GV.^{at}, Brandt, GW.^{at}, Brandt, GX.^{at}, Brandt, GY.^{at}, Brandt, GZ.^{at}, Brandt, HA.^{at}, Brandt, HB.^{at}, Brandt, HC.^{at}, Brandt, HD.^{at}, Brandt, HE.^{at}, Brandt, HF.^{at}, Brandt, HG.^{at}, Brandt, HH.^{at}, Brandt, HI.^{at}, Brandt, HJ.^{at}, Brandt, HK.^{at}, Brandt, HL.^{at}, Brandt, HM.^{at}, Brandt, HN.^{at}, Brandt, HO.^{at}, Brandt, HP.^{at}, Brandt, HQ.^{at}, Brandt, HR.^{at}, Brandt, HS.^{at}, Brandt, HT.^{at}, Brandt, HU.^{at}, Brandt, HV.^{at}, Brandt, HW.^{at}, Brandt, HX.^{at}, Brandt, HY.^{at}, Brandt, HZ.^{at}, Brandt, IA.^{at}, Brandt, IB.^{at}, Brandt, IC.^{at}, Brandt, ID.^{at}, Brandt, IE.^{at}, Brandt, IF.^{at}, Brandt, IG.^{at}, Brandt, IH.^{at}, Brandt, II.^{at}, Brandt, IJ.^{at}, Brandt, IK.^{at}, Brandt, IL.^{at}, Brandt, IM.^{at}, Brandt, IN.^{at}, Brandt, IO.^{at}, Brandt, IP.^{at}, Brandt, IQ.^{at}, Brandt, IR.^{at}, Brandt, IS.^{at}, Brandt, IT.^{at}, Brandt, IU.^{at}, Brandt, IV.^{at}, Brandt, IW.^{at}, Brandt, IX.^{at}, Brandt, IY.^{at}, Brandt, IZ.^{at}, Brandt, JA.^{at}, Brandt, JB.^{at}, Brandt, JC.^{at}, Brandt, JD.^{at}, Brandt, JE.^{at}, Brandt, JF.^{at}, Brandt, JG.^{at}, Brandt, JH.^{at}, Brandt, JI.^{at}, Brandt, JJ.^{at}, Brandt, JK.^{at}, Brandt, JL.^{at}, Brandt, JM.^{at}, Brandt, JN.^{at}, Brandt, JO.^{at}, Brandt, JP.^{at}, Brandt, JQ.^{at}, Brandt, JR.^{at}, Brandt, JS.^{at}, Brandt, JT.^{at}, Brandt, JU.^{at}, Brandt, JV.^{at}, Brandt, JW.^{at}, Brandt, JX.^{at}, Brandt, JY.^{at}, Brandt, JZ.^{at}, Brandt, KA.^{at}, Brandt, KB.^{at}, Brandt, KC.^{at}, Brandt, KD.^{at}, Brandt, KE.^{at}, Brandt, KF.^{at}, Brandt, KG.^{at}, Brandt, KH.^{at}, Brandt, KI.^{at}, Brandt, KJ.^{at}, Brandt, KK.^{at}, Brandt, KL.^{at}, Brandt, KM.^{at}, Brandt, KN.^{at}, Brandt, KO.^{at}, Brandt, KP.^{at}, Brandt, KQ.^{at}, Brandt, KR.^{at}, Brandt, KS.^{at}, Brandt, KT.^{at}, Brandt, KU.^{at}, Brandt, KV.^{at}, Brandt, KW.^{at}, Brandt, KX.^{at}, Brandt, KY.^{at}, Brandt, KZ.^{at}, Brandt, LA.^{at}, Brandt, LB.^{at}, Brandt, LC.^{at}, Brandt, LD.^{at}, Brandt, LE.^{at}, Brandt, LF.^{at}, Brandt, LG.^{at}, Brandt, LH.^{at}, Brandt, LI.^{at}, Brandt, LJ.^{at}, Brandt, LK.^{at}, Brandt, LL.^{at}, Brandt, LM.^{at}, Brandt, LN.^{at}, Brandt, LO.^{at}, Brandt, LP.^{at}, Brandt, LQ.^{at}, Brandt, LR.^{at}, Brandt, LS.^{at}, Brandt, LT.^{at}, Brandt, LU.^{at}, Brandt, LV.^{at}, Brandt, LW.^{at}, Brandt, LX.^{at}, Brandt, LY.^{at}, Brandt, LZ.^{at}, Brandt, MA.^{at}, Brandt, MB.^{at}, Brandt, MC.^{at}, Brandt, MD.^{at}, Brandt, ME.^{at}, Brandt, MF.^{at}, Brandt, MG.^{at}, Brandt, MH.^{at}, Brandt, MI.^{at}, Brandt, MJ.^{at}, Brandt, MK.^{at}, Brandt, ML.^{at}, Brandt, MN.^{at}, Brandt, MO.^{at}, Brandt, MP.^{at}, Brandt, MQ.^{at}, Brandt, MR.^{at}, Brandt, MS.^{at}, Brandt, MT.^{at}, Brandt, MU.^{at}, Brandt, MV.^{at}, Brandt, MW.^{at}, Brandt, MX.^{at}, Brandt, MY.^{at}, Brandt, MZ.^{at}, Brandt, NA.^{at}, Brandt, NB.^{at}, Brandt, NC.^{at}, Brandt, ND.^{at}, Brandt, NE.^{at}, Brandt, NF.^{at}, Brandt, NG.^{at}, Brandt, NH.^{at}, Brandt, NI.^{at}, Brandt, NJ.^{at}, Brandt, NK.^{at}, Brandt, NL.^{at}, Brandt, NM.^{at}, Brandt, NO.^{at}, Brandt, NP.^{at}, Brandt, NQ.^{at}, Brandt, NR.^{at}, Brandt, NS.^{at}, Brandt, NT.^{at}, Brandt, NU.^{at}, Brandt, NV.^{at}, Brandt, NW.^{at}, Brandt, NX.^{at}, Brandt, NY.^{at}, Brandt, NZ.^{at}, Brandt, OA.^{at}, Brandt, OB.^{at}, Brandt, OC.^{at}, Brandt, OD.^{at}, Brandt, OE.^{at}, Brandt, OF.^{at}, Brandt, OG.^{at}, Brandt, OH.^{at}, Brandt, OI.^{at}, Brandt, OJ.^{at}, Brandt, OK.^{at}, Brandt, OL.^{at}, Brandt, OM.^{at}, Brandt, ON.^{at}, Brandt, OO.^{at}, Brandt, OP.^{at}, Brandt, OQ.^{at}, Brandt, OR.^{at}, Brandt, OS.^{at}, Brandt, OT.^{at}, Brandt, OU.^{at}, Brandt, OV.^{at}, Brandt, OW.^{at}, Brandt, OX.^{at}, Brandt, OY.^{at}, Brandt, OZ.^{at}, Brandt, PA.^{at}, Brandt, PB.^{at}, Brandt, PC.^{at}, Brandt, PD.^{at}, Brandt, PE.^{at}, Brandt, PF.^{at}, Brandt, PG.^{at}, Brandt, PH.^{at}, Brandt, PI.^{at}, Brandt, PJ.^{at}, Brandt, PK.^{at}, Brandt, PL.^{at}, Brandt, PM.^{at}, Brandt, PN.^{at}, Brandt, PO.^{at}, Brandt, PP.^{at}, Brandt, PQ.^{at}, Brandt, PR.^{at}, Brandt, PS.^{at}, Brandt, PT.^{at}, Brandt, PU.^{at}, Brandt, PV.^{at}, Brandt, PW.^{at}, Brandt, PX.^{at}, Brandt, PY.^{at}, Brandt, PZ.^{at}, Brandt, QA.^{at}, Brandt, QB.^{at}, Brandt, QC.^{at}, Brandt, QD.^{at}, Brandt, QE.^{at}, Brandt, QF.^{at}, Brandt, QG.^{at}, Brandt, QH.^{at}, Brandt, QI.^{at}, Brandt, QJ.^{at}, Brandt, QK.^{at}, Brandt, QL.^{at}, Brandt, QM.^{at}, Brandt, QN.^{at}, Brandt, QO.^{at}, Brandt, QP.^{at}, Brandt, QQ.^{at}, Brandt, QR.^{at}, Brandt, QS.^{at}, Brandt, QT.^{at}, Brandt, QU.^{at}, Brandt, QV.^{at}, Brandt, QW.^{at}, Brandt, QX.^{at}, Brandt, QY.^{at}, Brandt, QZ.^{at}, Brandt, RA.^{at}, Brandt, RB.^{at}, Brandt, RC.^{at}, Brandt, RD.^{at}, Brandt, RE.^{at}, Brandt, RF.^{at}, Brandt, RG.^{at}, Brandt, RH.^{at}, Brandt, RI.^{at}, Brandt, RJ.^{at}, Brandt, RK.^{at}, Brandt, RL.^{at}, Brandt, RM.^{at}, Brandt, RN.^{at}, Brandt, RO.^{at}, Brandt, RP.^{at}, Brandt, RQ.^{at}, Brandt, RR.^{at}, Brandt, RS.^{at}, Brandt, RT.^{at}, Brandt, RU.^{at}, Brandt, RV.^{at}, Brandt, RW.^{at}, Brandt, RX.^{at}, Brandt, RY.^{at}, Brandt, RZ.^{at}, Brandt, SA.^{at}, Brandt, SB.^{at}, Brandt, SC.^{at}, Brandt, SD.^{at}, Brandt, SE.^{at}, Brandt, SF.^{at}, Brandt, SG.^{at}, Brandt, SH.^{at}, Brandt, SI.^{at}, Brandt, SJ.^{at}, Brandt, SK.^{at}, Brandt, SL.^{at}, Brandt, SM.^{at}, Brandt, SN.^{at}, Brandt, SO.^{at}, Brandt, SP.^{at}, Brandt, SQ.^{at}, Brandt, SR.^{at}, Brandt, SS.^{at}, Brandt, ST.^{at}, Brandt, SU.^{at}, Brandt, SV.^{at}, Brandt, SW.^{at}, Brandt, SX.^{at}, Brandt, SY.^{at}, Brandt, SZ.^{at}, Brandt, TA.^{at}, Brandt, TB.^{at}, Brandt, TC.^{at}, Brandt, TD.^{at}, Brandt, TE.^{at}, Brandt, TF.^{at}, Brandt, TG.^{at}, Brandt, TH.^{at}, Brandt, TI.^{at}, Brandt, TJ.^{at}, Brandt, TK.^{at}, Brandt, TL.^{at}, Brandt, TM.^{at}, Brandt, TN.^{at}, Brandt, TO.^{at}, Brandt, TP.^{at}, Brandt, TQ.^{at}, Brandt, TR.^{at}, Brandt, TS.^{at}, Brandt, TT.^{at}, Brandt, TU.^{at}, Brandt, TV.^{at}, Brandt, TW.^{at}, Brandt, TX.^{at}, Brandt, TY.^{at}, Brandt, TZ.^{at}, Brandt, UA.^{at}, Brandt, UB.^{at}, Brandt, UC.^{at}, Brandt, UD.^{at}, Brandt, UE.^{at}, Brandt, UF.^{at}, Brandt, UG.^{at}, Brandt, UH.^{at}, Brandt, UI.^{at}, Brandt, UJ.^{at}, Brandt, UK.^{at}, Brandt, UL.^{at}, Brandt, UM.^{at}, Brandt, UN.^{at}, Brandt, UO.^{at}, Brandt, UP.^{at}, Brandt, UQ.^{at}, Brandt, UR.^{at}, Brandt, US.^{at}, Brandt, UT.^{at}, Brandt, UU.^{at}, Brandt, UV.^{at}, Brandt, UW.^{at}, Brandt, UX.^{at}, Brandt, UY.^{at}, Brandt, UZ.^{at}, Brandt, VA.^{at}, Brandt, VB.^{at}, Brandt, VC.^{at}, Brandt, VD.^{at}, Brandt, VE.^{at}, Brandt, VF.^{at}, Brandt, VG.^{at}, Brandt, VH.^{at}, Brandt, VI.^{at}, Brandt, VJ.^{at}, Brandt, VK.^{at}, Brandt, VL.^{at}, Brandt, VM.^{at}, Brandt, VN.^{at}, Brandt, VO.^{at}, Brandt, VP.^{at}, Brandt, VQ.^{at}, Brandt, VR.^{at}, Brandt, VS.^{at}, Brandt, VT.^{at}, Brandt, VU.^{at}, Brandt, VV.^{at}, Brandt, VW.^{at}, Brandt, VX.^{at}, Brandt, VY.^{at}, Brandt, VZ.^{at}, Brandt, WA.^{at}, Brandt, WB.^{at}, Brandt, WC.^{at}, Brandt, WD.^{at}, Brandt, WE.^{at}, Brandt, WF.^{at}, Brandt, WG.^{at}, Brandt, WH.^{at}, Brandt, WI.^{at}, Brandt, WJ.^{at}, Brandt, WK.^{at}, Brandt, WL.^{at}, Brandt, WM.^{at}, Brandt, WN.^{at}, Brandt, WO.^{at}, Brandt, WP.^{at}, Brandt, WQ.^{at}, Brandt, WR.^{at}, Brandt, WS.^{at}, Brandt, WT.^{at}, Brandt, WU.^{at}, Brandt, WV.^{at}, Brandt, WX.^{at}, Brandt, WY.^{at}, Brandt, WZ.^{at}, Brandt, XA.^{at}, Brandt, XB.^{at}, Brandt, XC.^{at}, Brandt, XD.^{at}, Brandt, XE.^{at}, Brandt, XF.^{at}, Brandt, XG.^{at}, Brandt, XH.^{at}, Brandt, XI.^{at}, Brandt, XJ.^{at}, Brandt, XK.^{at}, Brandt, XL.^{at}, Brandt, XM.^{at}, Brandt, XN.^{at}, Brandt, XO.^{at}, Brandt, XP.^{at}, Brandt, XQ.^{at}, Brandt, XR.^{at}, Brandt, XS.^{at}, Brandt, XT.^{at}, Brandt, XU.^{at}, Brandt, XV.^{at}, Brandt, XW.^{at}, Brandt, XX.^{at}, Brandt, XY.^{at}, Brandt, XZ.^{at}, Brandt, YA.^{at}, Brandt, YB.^{at}, Brandt, YC.^{at}, Brandt, YD.^{at}, Brandt, YE.^{at}, Brandt, YF.^{at}, Brandt, YG.^{at}, Brandt, YH.^{at}, Brandt, YI.^{at}, Brandt, YJ.^{at}, Brandt, YK.^{at}, Brandt, YL.^{at}, Brandt, YM.^{at}, Brandt, YN.^{at}, Brandt, YO.^{at}, Brandt, YP.^{at}, Brandt, YQ.^{at}, Brandt, YR.^{at}, Brandt, YS.^{at}, Brandt, YT.^{at}, Brandt, YU.^{at}, Brandt, YV.^{at}, Brandt, YW.^{at}, Brandt, YX.^{at}, Brandt, YY.^{at}, Brandt, YZ.^{at}, Brandt, ZA.^{at}, Brandt, ZB.^{at}, Brandt, ZC.^{at}, Brandt, ZD.^{at}, Brandt, ZE.^{at}, Brandt, ZF.^{at}, Brandt, ZG.^{at}, Brandt, ZH.^{at}, Brandt, ZI.^{at}, Brandt, ZJ.^{at}, Brandt, ZK.^{at}, Brandt, ZL.^{at}, Brandt, ZM.^{at}, Brandt, ZN.^{at}, Brandt, ZO.^{at}, Brandt, ZP.^{at}, Brandt, ZQ.^{at}, Brandt, ZR.^{at}, Brandt, ZS.^{at}, Brandt, ZT.^{at}, Brandt, ZU.^{at}, Brandt, ZV.^{at}, Brandt, ZW.^{at}, Brandt, ZX.^{at}, Brandt, ZY.^{at}, Brandt, ZZ.^{at}

2939 авторов из
263 организаций

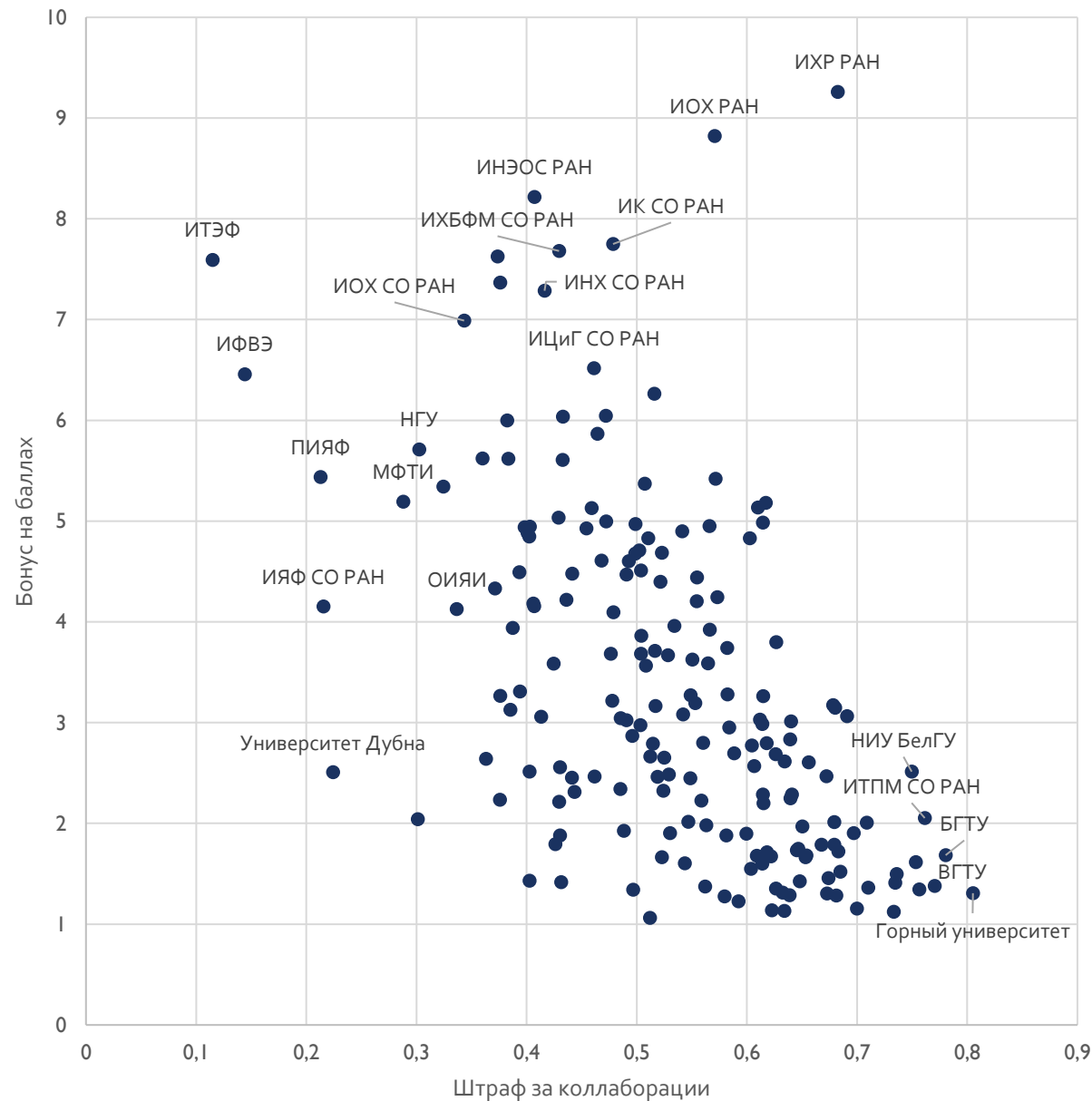
ИЯФ СО РАН



LOSERS & WINNERS

- Бонус на баллах – КБПР / FC
- Штраф за коллаборации – FC / AC

- проигрывает физика высоких энергий
- выигрывают химия и материаловедение



ПОСЛЕДСТВИЕ №2 – ПОСТРАДАЮТ «ДОПОЛНИТЕЛЬНЫЕ» АФФИЛИАЦИИ

Ряд вузов повышает публикационную активность за счет премирования внешних совместителей за «приписывание» аффилиации.

Основная организация при таких правилах расчета КБПР будет активно «против».

Journal of Physics: Conference Series

Volume 1421, Issue 1, 30 December 2019, Article number 012013

15th International Conference on Optical Methods of Flow Investigation, OMFI 2019; Moscow Power Engineering Institute Moscow; Russian Federation; 24 June 2019 through 28 June 2019; Code 156710

In-plane interferometry of terahertz surface plasmon polaritons (Conference Paper) (Open Access)

Nikitin, A.K.^{a,b} ✉, Khitrov, O.V.^a, Gerasimov, V.V.^{b,c}, Khasanov, I.Sh.^a, Ryzhova, T.A.^d

^aScientific and Technological Centre for Unique Instrumentation of RAS, Butlerova str., 15, Moscow, 117342, Russian Federation

^bNovosibirsk State University, Pirogova str., 1, Novosibirsk, 630090, Russian Federation

^cBudker Institute of Nuclear Physics of the Siberian Branch of the RAS, Acad. Lavrentieva Pr., 11, Novosibirsk, 630090, Russian Federation

^dPeoples Friendship University of Russia, Miklukho-Maklaya str. 6, Moscow, 117198, Russian Federation

Hide additional affiliations ^

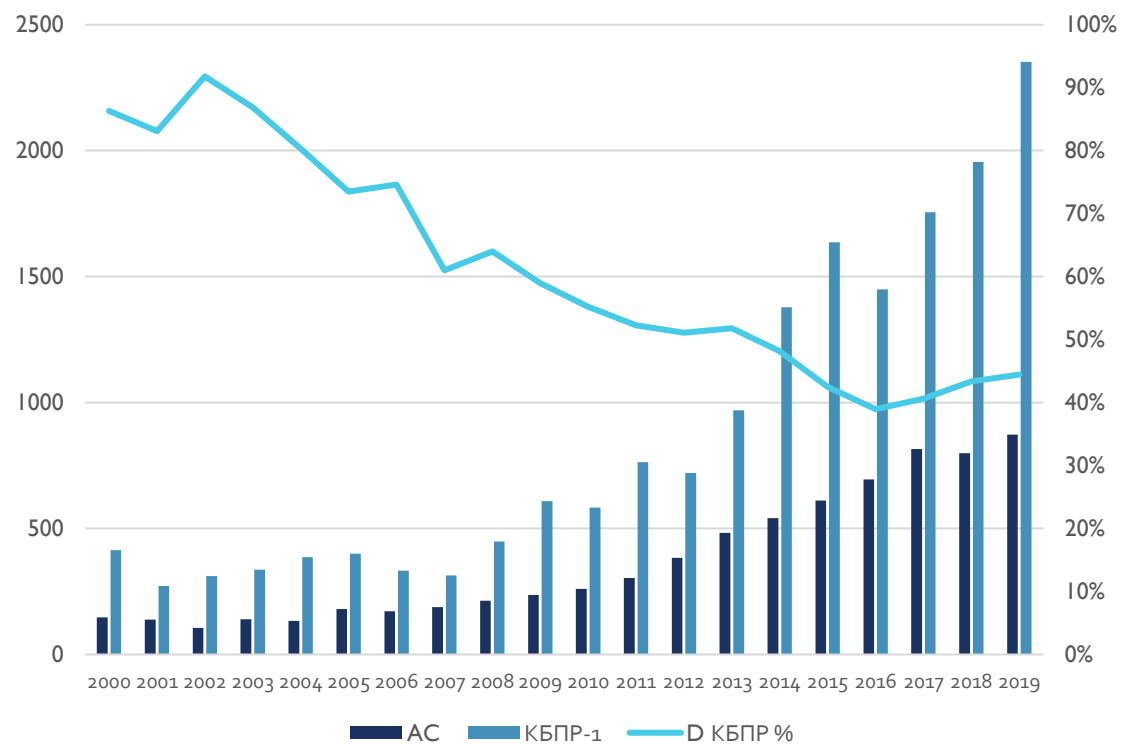
Abstract

[View references \(26\)](#)

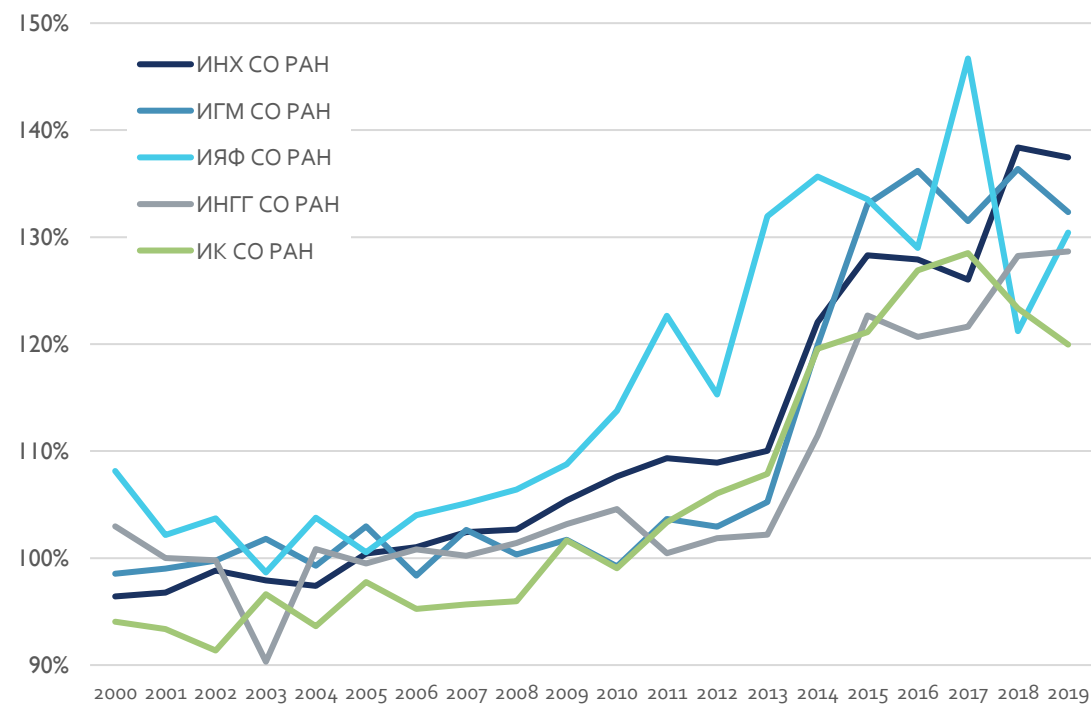
The paper is devoted to the development of interferometric schemes for determining the complex refractive index $\kappa = \kappa' + i\kappa''$ of surface plasmon-polaritons (SPPs) of the terahertz (THz) spectral range. As the value of κ depends on the dielectric constant ϵ_m of the metal surface guiding the SPPs it can be used for determining ϵ_m in the far infrared what other optical methods fail to do due to high reflectivity of metals. We discuss two types of THz SPP interferometers in which the interference pattern is formed as a result of the interaction of SPP beams themselves rather than bulk waves produced by these beams. The first type of interferometers are static devices that enable one to investigate fast processes on the metal surface, while the second type are dynamic ones that make it possible to realize Fourier spectroscopy of the metal surface and its transition layer at THz frequencies. Devices of the both types produce interferograms enabling one to determine the real and the imaginary parts of κ . The results of experiments on the interaction of THz SPPs with flat mirrors and beam - splitting plates, the key elements of the THz SPP interferometers, are presented. © Published under licence by IOP Publishing Ltd.

ПРИМЕРЫ

НГУ

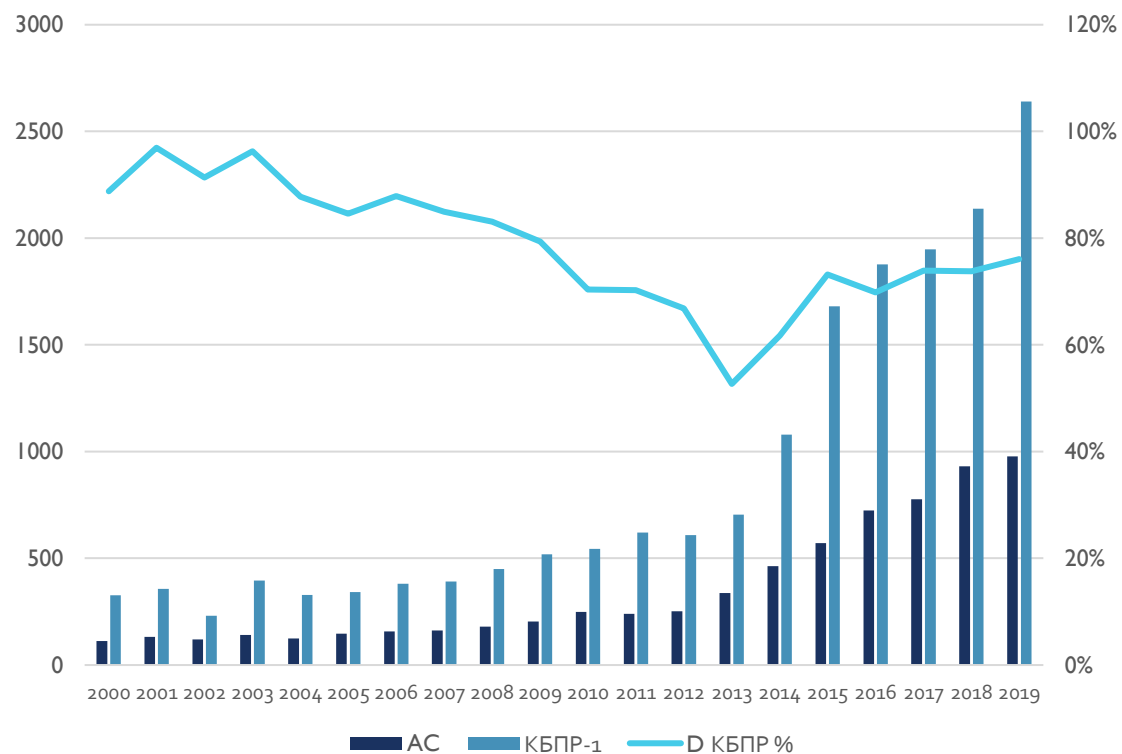


Доноры

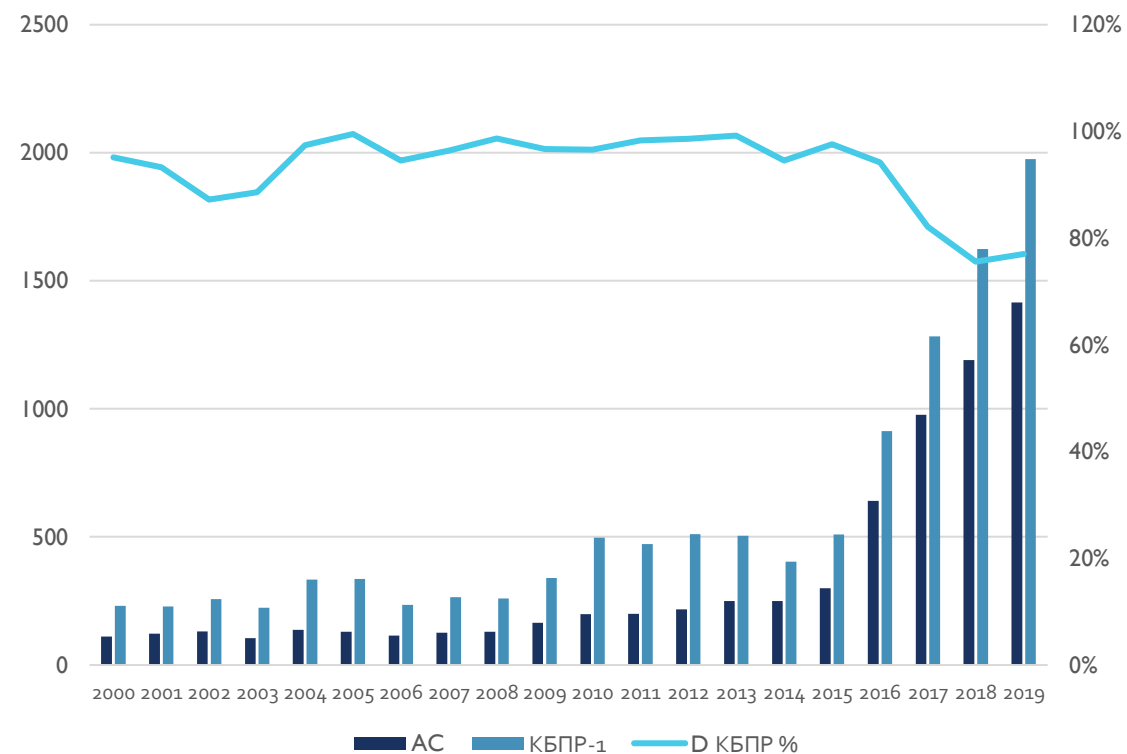


ПРИМЕРЫ

МФТИ



РУДН



ПОСЛЕДСТВИЕ №3 – ПОСТРАДАЮТ ПРОГРАММЫ ПРИВЛЕЧЕНИЯ ВЕДУЩИХ ЗАРУБЕЖНЫХ УЧЕНЫХ

15 Июня 2017, 16:52 UTC+3 1895

4 12

Итальянский профессор Роберто Морандотти: Делать эксперименты на плохом оборудовании – это как играть классическую музыку на скрипке из магазина игрушек

Нейробиологи много лет пытались разобраться, как работает человеческий мозг, основываясь на анализе внутренних процессов в голове человека. Но что если ответ лежит снаружи? Что если физики могут понять их лучше, создав симулятор мозговых процессов? Причем симулятор будет основан не на принципах электроники, которая не способна должным образом справиться с необходимым объемом информации, а с помощью оптических систем. Над этими вопросами работают сотрудники Университета ИТМО, среди которых приехавший в вуз по программе ITMO Fellowship Роберто Морандотти, физик, профессор в Национальном научно-исследовательском институте в Монреале (Канада) (National Institute of Scientific Research (INRS)), автор статей о нелинейной и квантовой оптике, а также терагерцовой фотонике.



APL Photonics

Volume 3, Issue 12, 1 December 2018, Article number 120803

Invited Article: Enhanced four-wave mixing in waveguides integrated with graphene oxide (Article)

(Open Access)

Yang, Y.^a, Wu, J.^a, Xu, X.^a, Liang, Y.^a, Chu, S.T.^b, Little, B.E.^c, **Morandotti, R.^{d,e,f}**, Jia, B.^a ✉, Moss, D.J.^a ✉

^aCentre for Micro-Photonics, Swinburne University of Technology, Hawthorn, VIC 3122, Australia

^bDepartment of Physics and Material Science, City University of Hong Kong, Tat Chee Avenue, Hong Kong, Hong Kong
^cXi'an Institute of Optics and Precision Mechanics of CAS, Xi'an, 710119, China

^dINSR-Énergie, Matériaux et Télécommunications, 1650 Boulevard Lionel-Boulet, Varennes, QC J3X 1S2, Canada

^eITMO University, St. Petersburg, 197101, **Russian Federation**

^fInstitute of Fundamental and Frontier Sciences, University of Electronic Science and Technology of China, Chengdu, 610054, China

Hide additional affiliations ^

Abstract

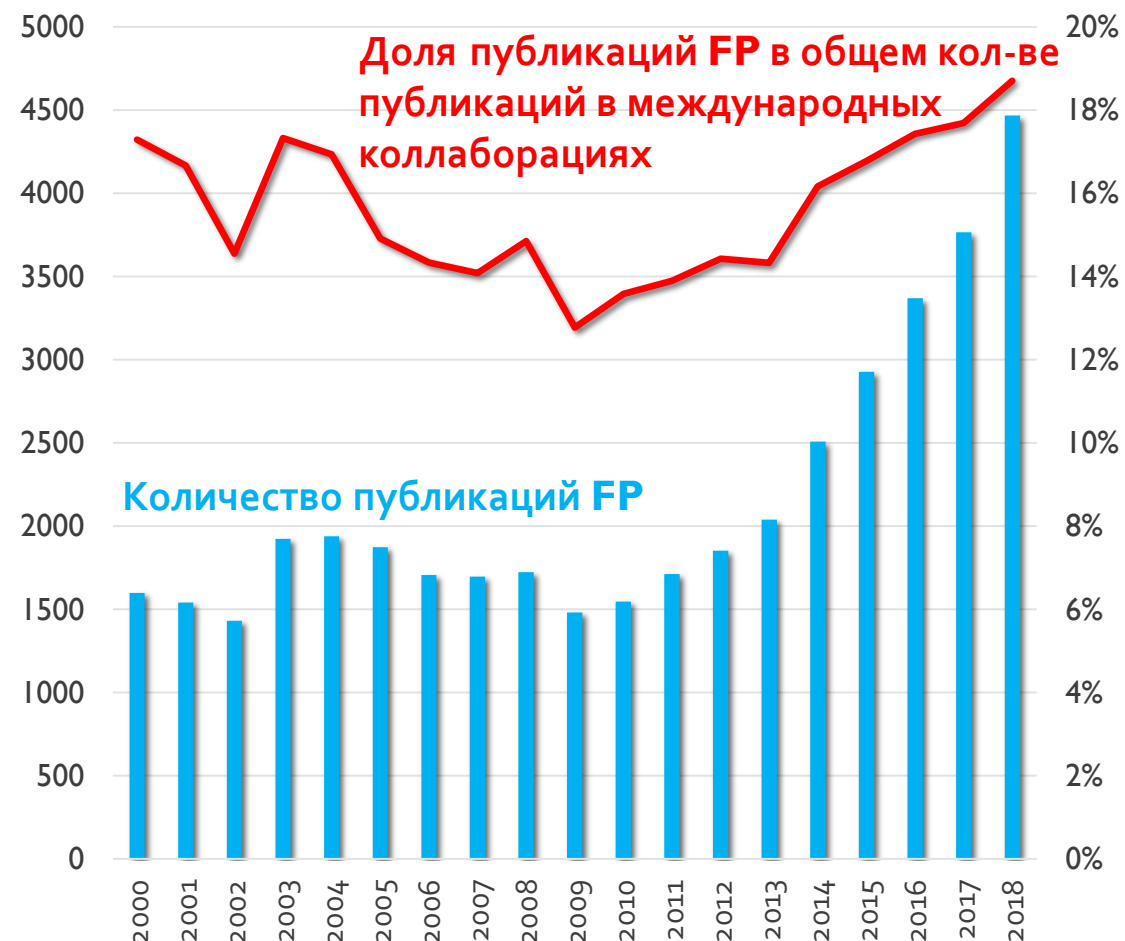
[View references \(60\)](#)

We demonstrate enhanced four-wave mixing (FWM) in doped silica waveguides integrated with graphene oxide (GO) layers. Owing to strong mode overlap between the integrated waveguides and GO films that have a high Kerr nonlinearity and low loss, the FWM efficiency of the hybrid integrated waveguides is significantly improved. We perform FWM measurements for different pump powers, wavelength detuning, GO coating lengths, and number of GO layers. Our experimental results show good agreement with theory, achieving up to ~9.5-dB enhancement in the FWM conversion efficiency for a 1.5-cm-long waveguide integrated with 2 layers of GO. We show theoretically that for different waveguide geometries an enhancement in FWM efficiency of ~20 dB can be obtained in the doped silica waveguides and more than 30 dB in silicon nanowires and slot waveguides. This demonstrates the effectiveness of introducing GO films into integrated photonic devices in order to enhance the performance of nonlinear optical processes. © 2018 Author(s).

КОЛ-ВО СТАТЕЙ, ГДЕ АВТОР(Ы) ДОБАВЛЯЮТ РОССИЙСКУЮ АФФИЛИАЦИЮ КАК ДОПОЛНИТЕЛЬНУЮ (FP)

Организация	2010	2011	2012	2013	2014	2015	2016	2017	2018
ИТМО	4	11	7	44	152	254	299	394	438
РУДН	3	1	3	1	6	7	13	108	252
СПбГУ	63	78	87	99	109	155	179	198	236
МГУ	152	180	207	226	216	199	220	206	198
ТГУ	11	13	20	17	92	146	180	147	198
КФУ	18	24	25	37	69	142	145	185	192
ВШЭ	8	8	28	30	64	91	129	162	179
УрФУ	2	5	9	16	32	56	79	102	162
ТПУ	4	1	7	7	43	51	68	124	156
МИФИ	9	16	20	21	29	54	103	146	152
ОИЯИ	77	87	121	123	121	117	94	117	147
МИСИС	4	4	13	15	56	85	121	125	141
1 Мед	2	2	2	2	3	2	10	31	140
МФТИ	13	13	21	51	77	85	77	88	123
Сколково	0	0	5	17	44	61	68	64	115
ННГУ	10	9	8	33	63	73	92	76	72
НГУ	4	5	7	10	10	10	10	10	10
ФТИ им. А.Ф. Иоффе	104	107	110	111	111	111	111	111	111
ФИАН	66	62	62	72	72	72	72	72	72
ИППИ РАН	20	27	24	28	38	43	26	46	53

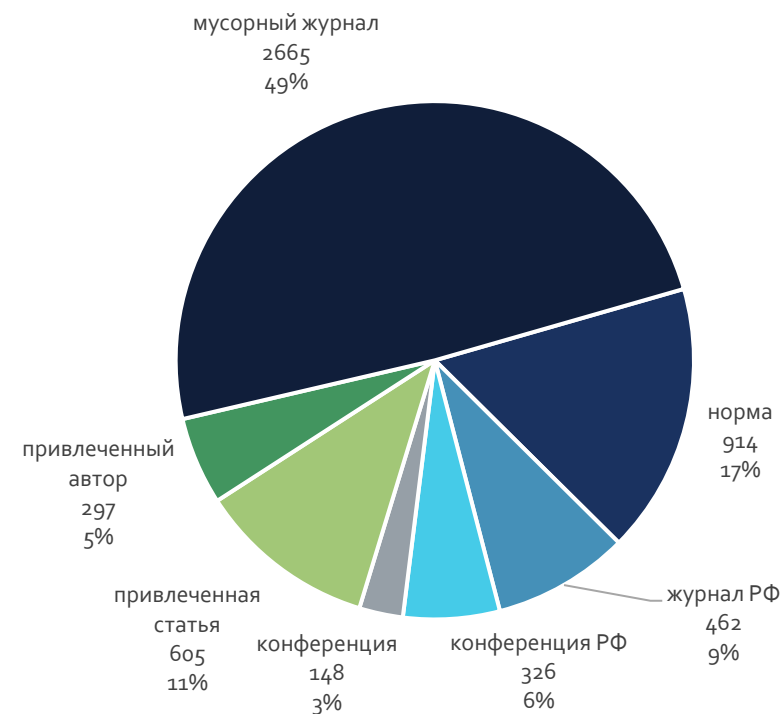
ИТМО – почти 20%
 РУДН – почти 15%



ПОСЛЕДСТВИЕ №4 – ПОСТРАДАЮТ ДОБРОСОВЕСТНЫЕ ПРЕДСТАВИТЕЛИ ГУМАНИТАРНЫХ И ОБЩЕСТВЕННЫХ НАУК

Издание	Все направления	Гуманитарные и общественные
WoS Q1	20	3
WoS Q2	10	3
WoS Q3	5	3
WoS Q4	2,5	3
WoS без IF	1	3
Scopus	1	3
RSCI	1	3
БАК	0,12	1
Книги	1	1 за п.л.

Казанский федеральный университет – за счет чего достигнут прирост публикаций



Guskov A.E., Kosyakov D. V., Selivanova I. V. Boosting research productivity in top Russian universities: the circumstances of breakthrough // Scientometrics. 2018. Vol. 117, № 2. P. 1053–1080.

... ИСТОРИЯ ПРОДОЛЖАЕТСЯ

Journal of Social Sciences Research

Scopus coverage years: from 2015 to 2019

(coverage discontinued in Scopus)

Publisher: Academic Research Publishing Group

ISSN: 2413-6670 E-ISSN: 2411-9458



The Journal of Social Sciences Research

ISSN(e): 2411-9458, ISSN(p): 2413-6670

Special Issue. 5, pp: 277-280, 2018

URL: https://arpgweb.com/journal/journal/7/special_issue

DOI: <https://doi.org/10.32861/jssr.spi5.277.280>



Original Research

Open Access

Women's Participation in the Presidential Elections in Russia: Value Aspects of Mass Media Discourse

Aida N. Nurutdinova*

Kazan Federal University, Kazan, Kremlevskaya st., 18

Vera N. Argunova

Vyatka state University, Kirov, Moskovskaya st., 36

Arina A. Talan

Kazan Federal University, Kazan, Kremlevskaya st., 18

Year

2019

(55) >

2018

(473) >

2017

(18) >

2016

(28) >

2015

(17) >

Universiti Utara Malaysia

(100) >

Kazan Federal University

(94) >

Universiti Teknologi
MARA

(21) >

Universiti Kebangsaan
Malaysia

(16) >

Universiti Pendidikan
Sultan Idris

(12) >

**BEALL'S LIST of
PREDATORY
Open
access
PUBLISHERS**

И ДРУГИЕ ПОДВИГИ КФУ

Институт управления, экономики и финансов



Институт управления, экономики и финансов Казанского федерального университета занимает по Приволжскому федеральному округу 1 место по подготовке специалистов экономического профиля. В Институте обучаются более 8 тысяч студентов и работают более 600 сотрудников. Возглавляет Институт профессор, доктор экономических наук, Заслуженный деятель науки Республики Татарстан, Лауреат премии Правительства Российской Федерации в области образования Багаутдинова Наиля Гумеровна. Научное руководство Институтом осуществляет ректор КФУ – Гафуров Ильшат Рафкатович.

Журнал	Статей за 5 лет	Индексация
Mediterranean Journal Of Social Sciences	206	2012-2015
International Journal Of Environmental And Science Education	202	2009-2016
Social Sciences Pakistan	199	2009-2016
Journal Of Language And Literature	185	2011-2016
Man In India	128	2000-2017
Opción	123	2008-....
Asian Social Science	120	2011-2016
Journal Of Sustainable Development	118	2014-2015

СПАСИБО ЗА ВНИМАНИЕ!

Комплексный балл публикационной результативности и некоторые возможные последствия его использования

Итого:

- пострадают коллаборации (особенно мега) 😞
- пострадают «дополнительные» аффилиации 😊
- пострадают программы привлечения ведущих ученых 😊
- выигрывают недобросовестные ученые в области гуманитарных и общественных наук 😞

Денис Косяков,

ГПНТБ СО РАН

kosyakov@spsl.nsc.ru